

МАТЕМАТИЧЕСКИЕ МЕТОДЫ В БИОФИЗИКЕ

Лекция 9

Тема:

Математическое моделирование секреции инсулина.

Раздел 2.1 Экспериментальные результаты.

Характеристики экспериментально наблюдаемых колебаний концентрации инсулина и глюкозы.

Физиологические механизмы регуляции секреции инсулина на уровне организма в целом и поджелудочной железе. Быстрые, средние и медленные типы колебаний концентрации инсулина.

Раздел 2.2. Медленный (100-минутный) ритм авторегуляции.

Переменные модели: инсулин плазмы, глюкоза плазмы, инсулин в тканях.

Аппроксимация нелинейных зависимостей. Моделирование времени реакции печени. Колебательная динамика модели.

Раздел 2.3. Моделирование 10-минутного ритма колебаний уровня инсулина.

Механизмы авторегуляции в кластере бета-клеток. Приближения модели.

Уравнения и управляющие параметры. Механизм возбуждения и поддержания колебаний.

Раздел 2.4. Быстрые колебания уровня инсулина.

Процесс выработки инсулина бета-клетками. Кластеры бета-клеток. Режим пачечной активности бета-клеток. Свидетельства взаимодействия между альфа- и бета-клетками.

Обзор имеющихся математических моделей. Модель Шермана

и ее динамика при вариации управляющих параметров.

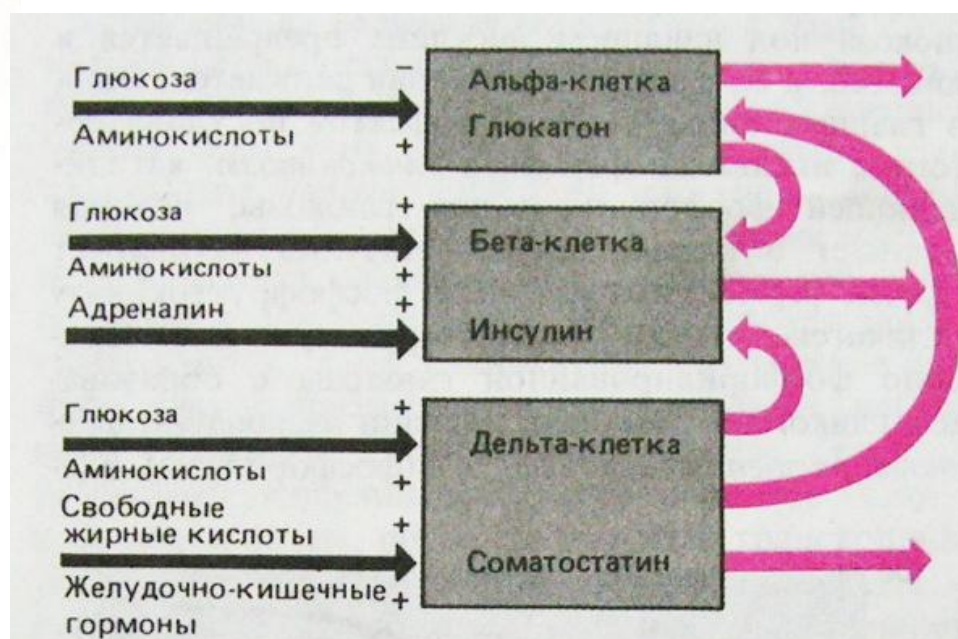
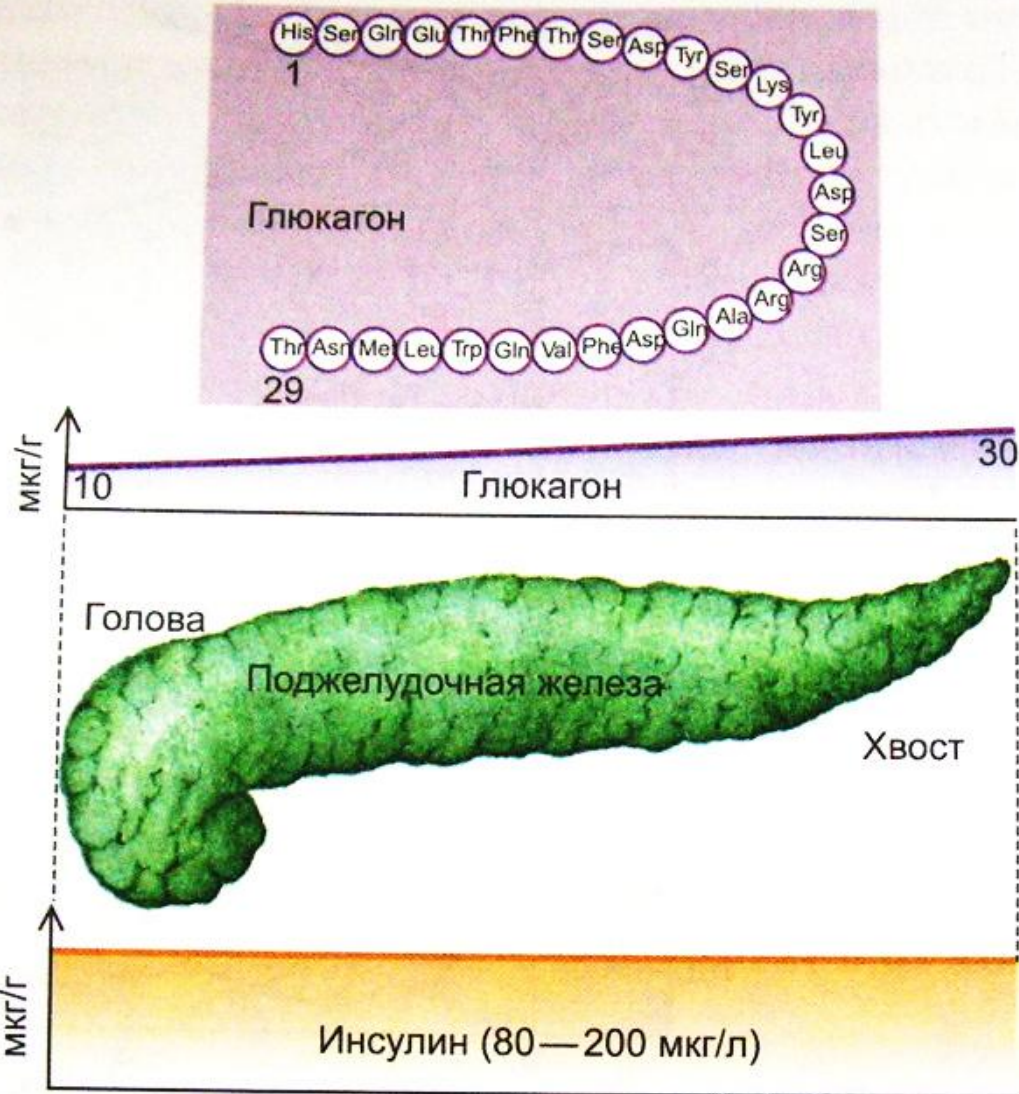


Рис. 17.19. Регуляция активности островковых клеток. Продуктами секреции клеток островков Лангерганса являются глюкагон, инсулин и соматостатин, секретируемые альфа-, бета- и дельта-клетками соответственно. Секреция инсулина стимулируется высокой концентрацией в крови глюкозы и аминокислот и угнетается адреналином. Секреторная активность альфа-клеток, вырабатывающих глюкагон, подавляется высокой концентрацией глюкозы в крови и стимулируется ее падением; аминокислоты оказывают противоположное действие. Секретируемый альфа-клетками глюкагон, действуя паракринным путем, угнетает секрецию инсулина бета-клетками. Секреция соматостатина дельта-клетками стимулируется высоким уровнем глюкозы, аминокислот и жирных кислот, а также гормонами желудочно-кишечного тракта. Паракринным путем соматостатин угнетает секрецию инсулина бета-клетками

Инсулин

Поджелудочная железа

Бета-клетки

Островки Лангерганса
(*insula* (лат.) -остров)

Функции:

Поглощение и использование глюкозы
мышечными и жировыми клетками

Блокирование образования глюкозы в
печени

Запасание глюкозы в форме гликогена

Секреция управляетяется уровнем глюкозы в крови.

Поджелудочная железа

Вес: 80-90 грамм

Два типа ткани, выполняющие
разные функции

Эндокринная и экзокринная
функции

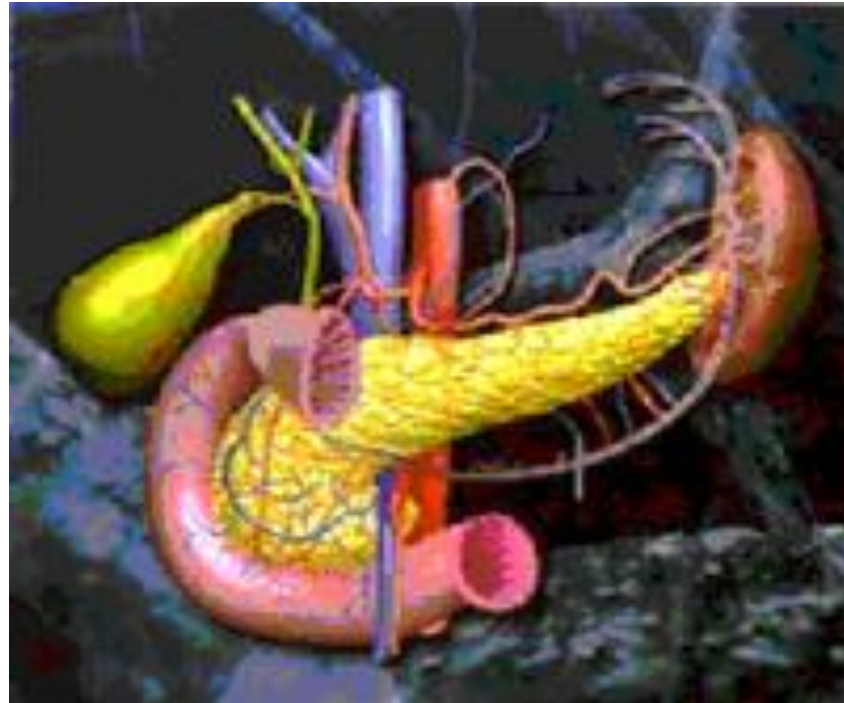
(генерация гормонов и
пищеварение)

Альфа-клетки

Бета-клетки

Д-клетки (соматостатин)

Е-клетки (панкреатический
полипептид)



Островки Лангерганса как железы
внутренней секреции:

Глюкагон и инсулин.

Действие инсулина

Мышечные клетки, печень, жировая ткань

Мышечные клетки:

При малом кол-ве инсулина непроницаемы для глюкозы, для получения энергии используется окисление жирных кислот

Инсулин активизирует транспорт глюкозы через мембрану

Печень:

Зapasает глюкозу, превращая ее в гликоген, а также в жир.

Жировая ткань:

При низкой концентрации инсулина – активизируется высвобождение свободных жирных кислот.

Глюкагон и соматостатин

Глюкагон:

Генерируется в альфа-клетках поджелудочной железы

Антагонист инсулина. Стимулирует расщепление гликогена в печени.

Соматостатин:

Генерируется в дельта-клетках.

Угнетает секрецию глюкагона.

Секреция возрастает при высоких концентрациях глюкозы, аминокислот и жирных кислот в крови.

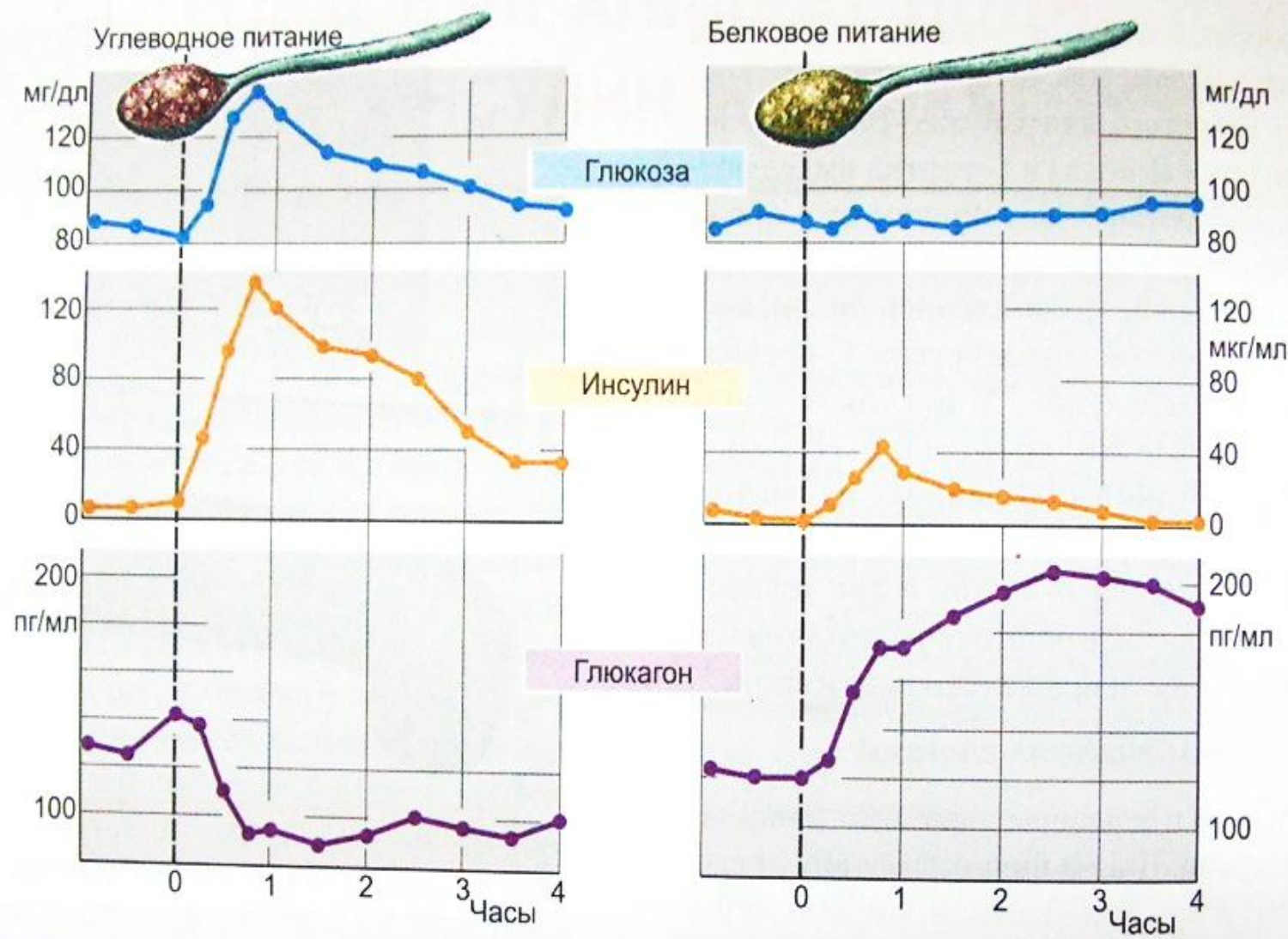
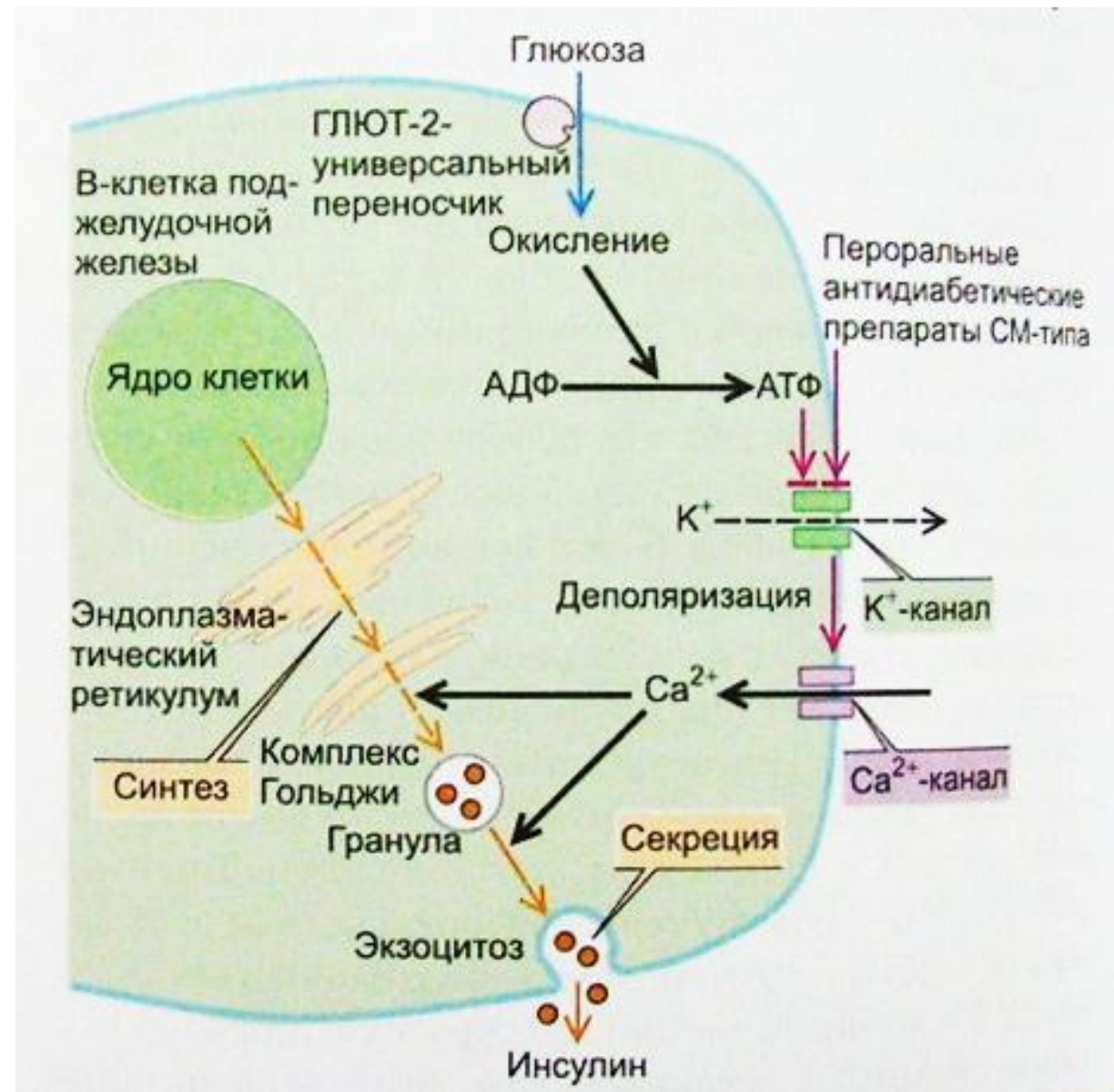


Рис. 89.2. Секреция инсулина и глюкагона после приема пищи. При питании чистыми углеводами (увеличение концентрации глюкозы в плазме) концентрация инсулина в плазме сильно возрастает, тогда как глюкагона — падает (левая сторона рисунка). При преимущественно белковом питании стимулируется секреция и инсулина, и глюкагона

Влияния на секрецию инсулина. Решающим является **прямая стимуляция глюкозой**. Действие глюкозы усиливают или тормозят различные факторы: **эндокринные** (ГПП-1, секретин, адреналин, норадреналин, ГИП), **параактивные** (соматостатин, амилини, панкреостатин) и **нейрональные** (вегетативная нервная система, галанин)

| Прямая стимуляция | Усиление | Торможение |
|--|---|--|
| Глюкоза, фруктоза, аминокислоты (аргинин, лейцин), жирные кислоты, кетоны | ГПП-1, ГИП, секретин, ацетилхолин, β -адренорецепторы | α -адренорецепторы, соматостатин, галанин, амилини, панкреостатин |

Синтез и выделение инсулина β -клеткой



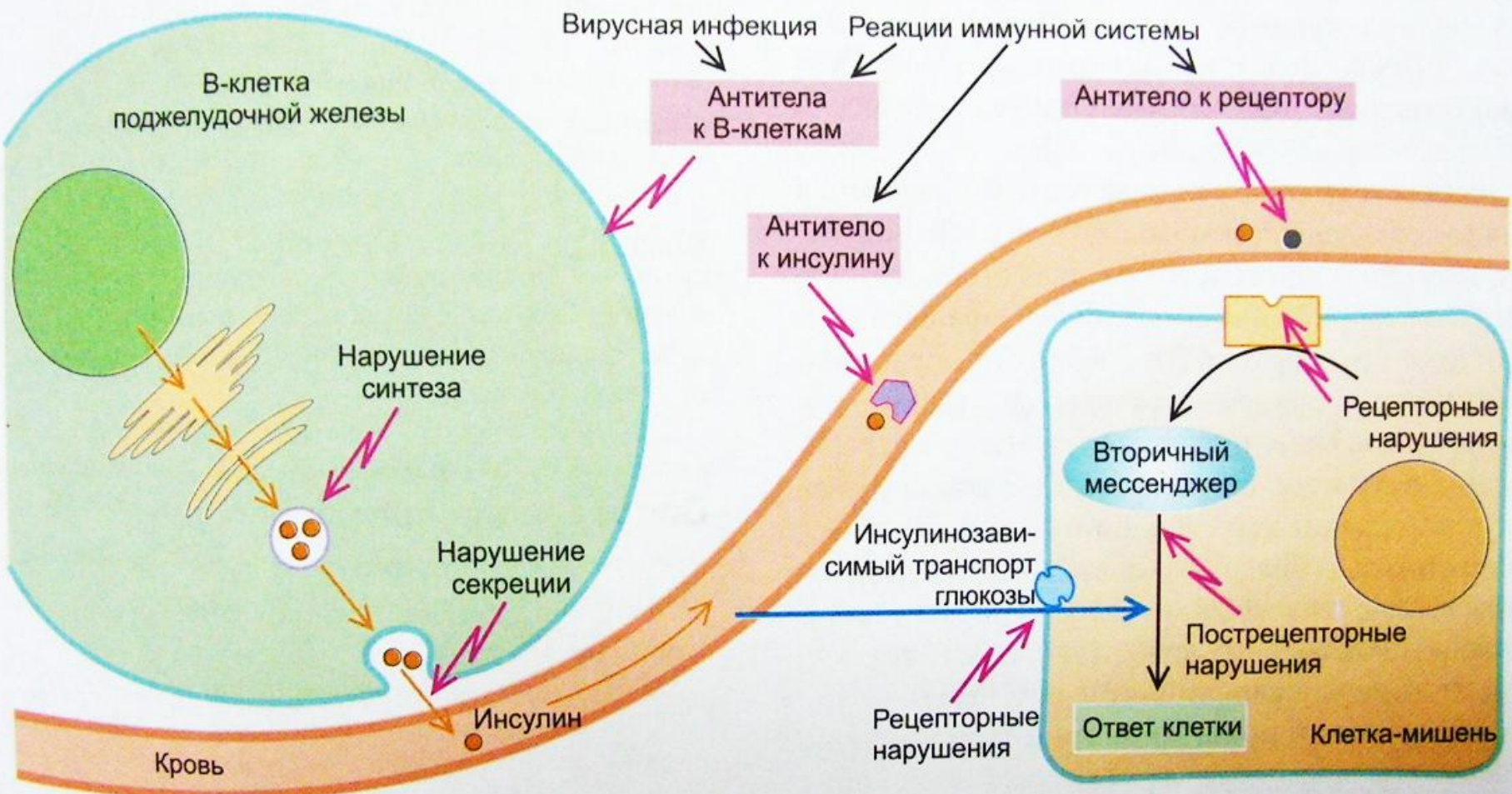


Рис. 89.5. Патогенетические механизмы возникновения сахарного диабета. Нарушения, приводящие к сахарному диабету, могут происходить на различных этапах: биосинтеза, секреции, транспорта и действия на клетки-мишени

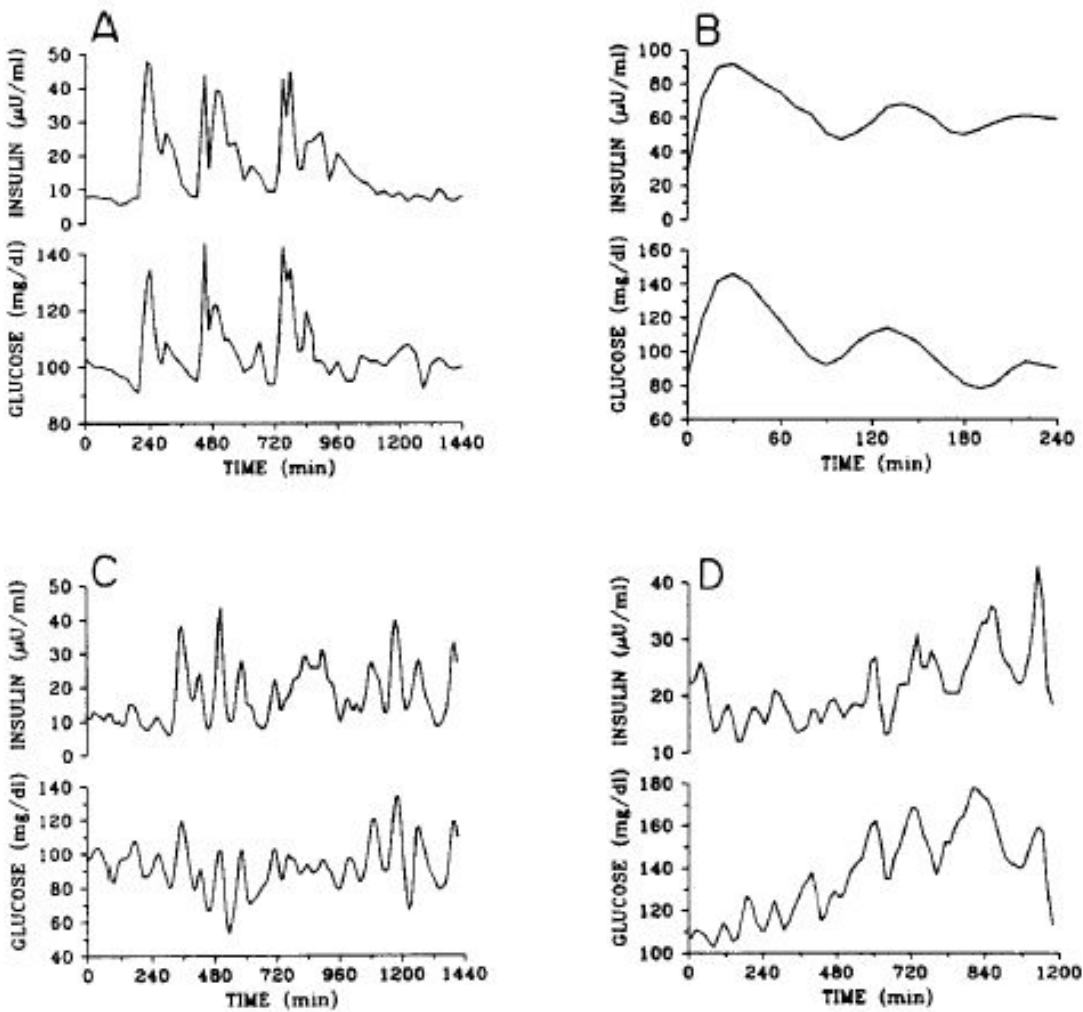


Figure 19.10 Oscillations of insulin and glucose. A: During the ingestion of 3 meals. B: During oral glucose. C: During continuous nutrition. D: During constant glucose infusion. Oscillations with a period of around 120 minutes occur even during constant stimulation (i.e., constant glucose infusion), and occur in a damped manner after a single stimulus such as ingestion of a meal. (Sturis et al., 1991, Fig. 1.)

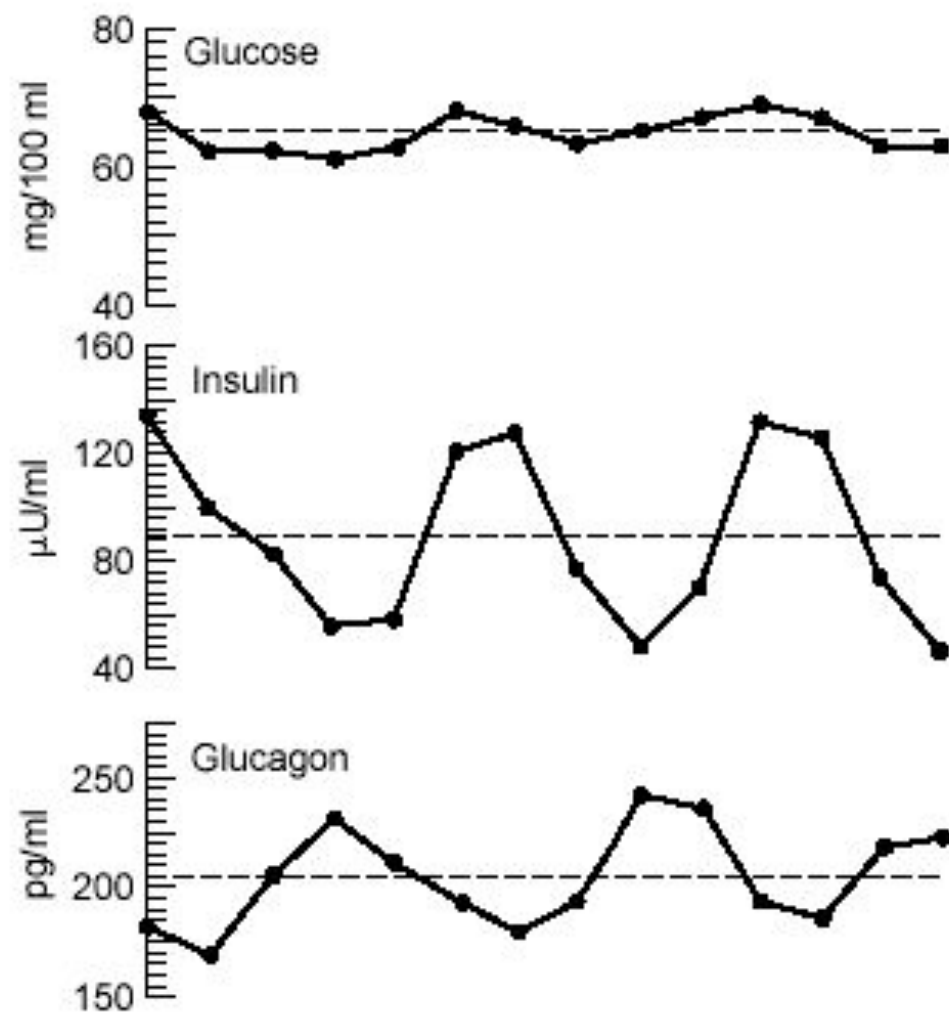


Figure 19.11 Intermediate frequency oscillations of glucose, insulin, and glucagon in monkeys. (Goodner et al., 1977, Fig. 1A.)

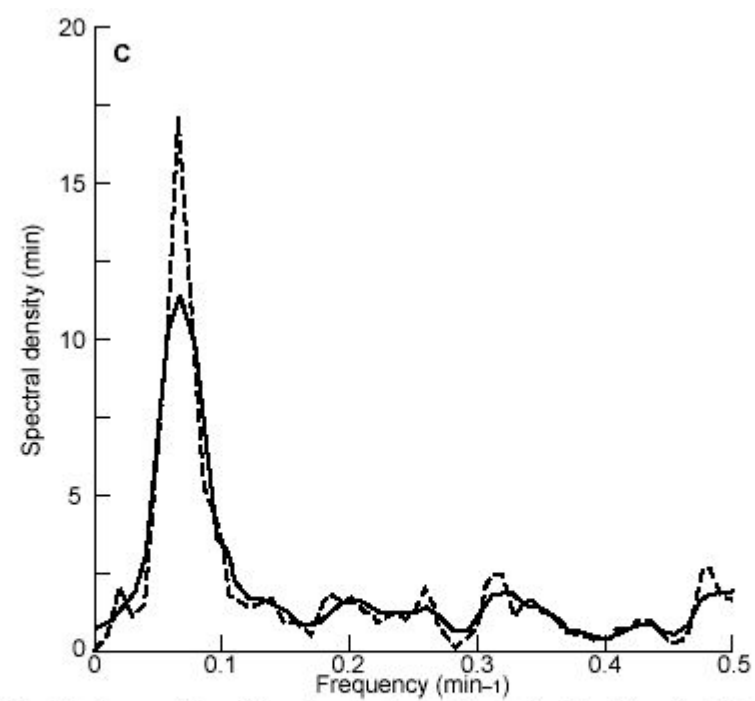
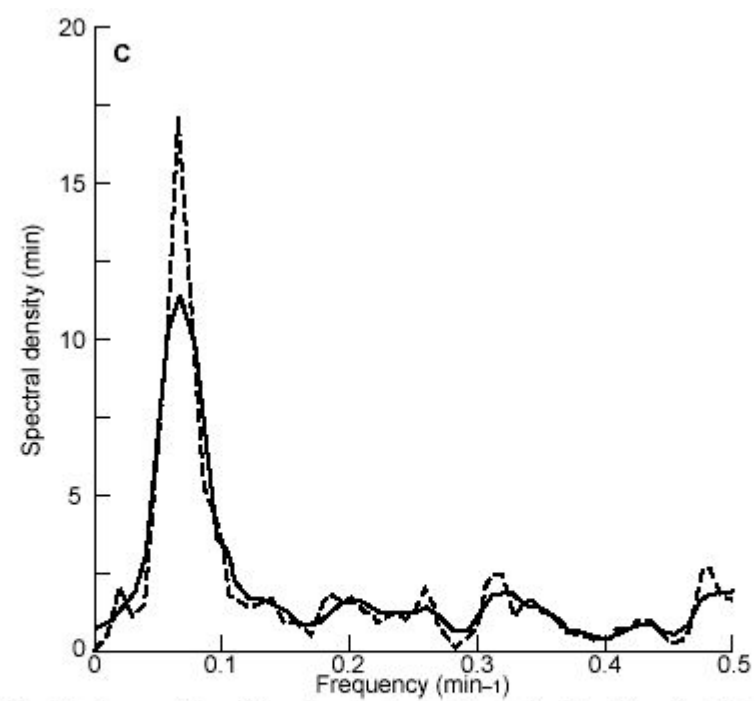
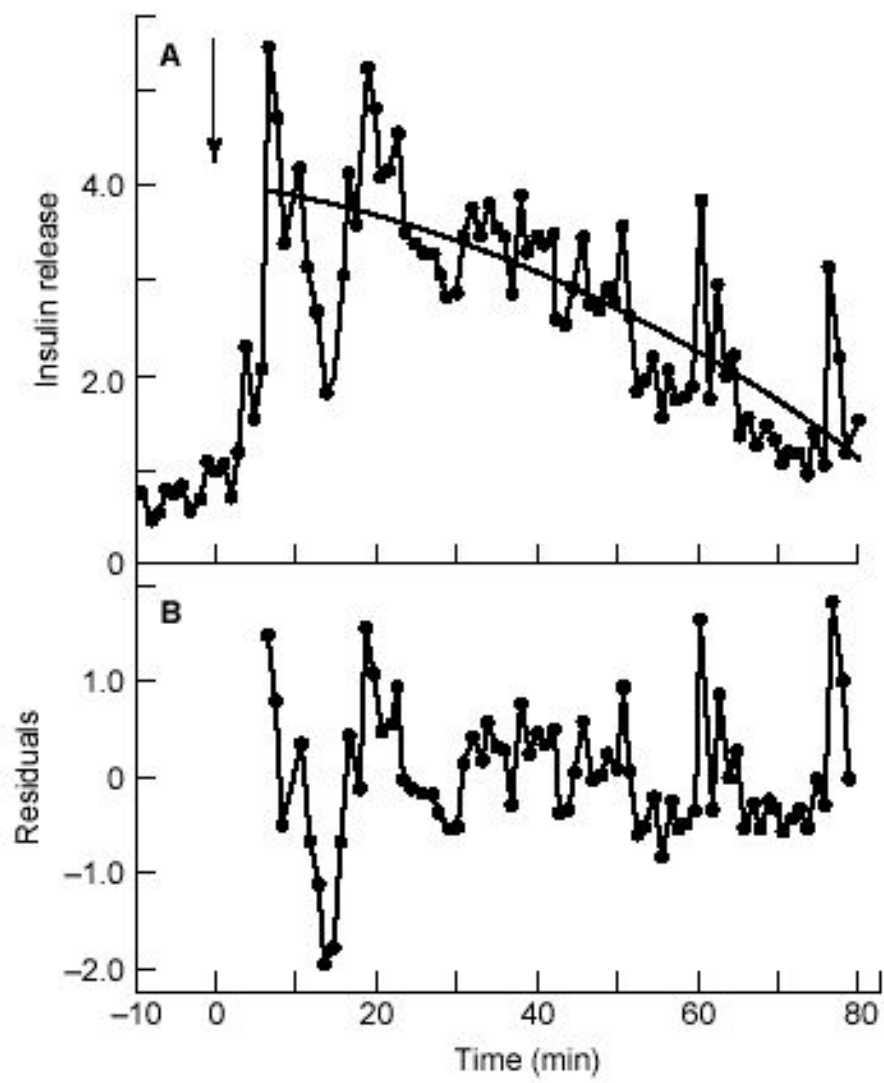


Figure 19.12 A: Oscillations of insulin release in perifused islets. The data indicate a slow time scale decreasing trend (the smooth line) upon which are superimposed faster time scale oscillations. B: When the slow decrease is removed from the data, the residuals exhibit oscillations around 0. C: Spectral analysis of the residuals shows a frequency peak at about 0.07 min^{-1} , corresponding to oscillations with a period of 14.5 minutes. The dashed and continuous lines correspond to two different filters used in the spectral analysis. (Bergstrom et al., 1989. Figs. 1A, C, and 2A)

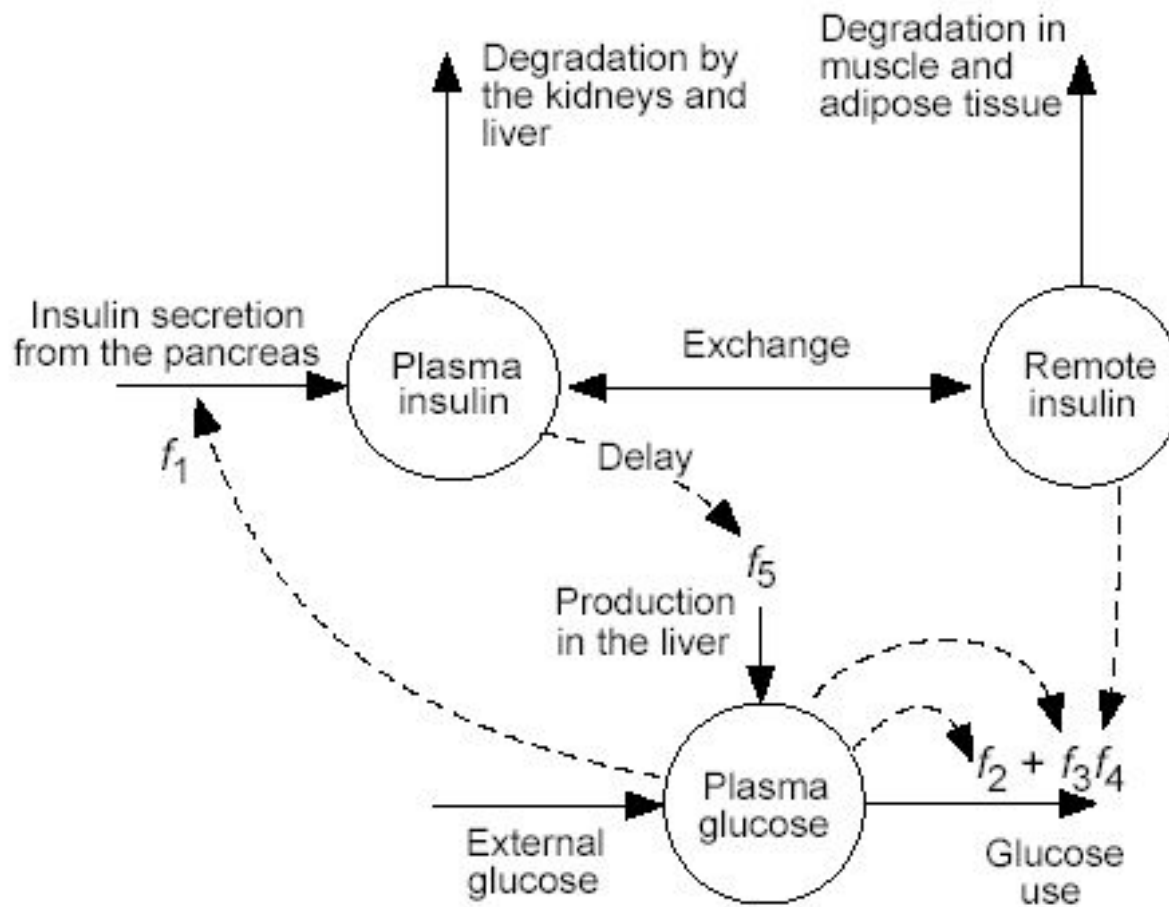


Figure 19.13 Schematic diagram of the model of ultradian insulin oscillations.

Колебания с большим периодом: ultradian insulin oscillations

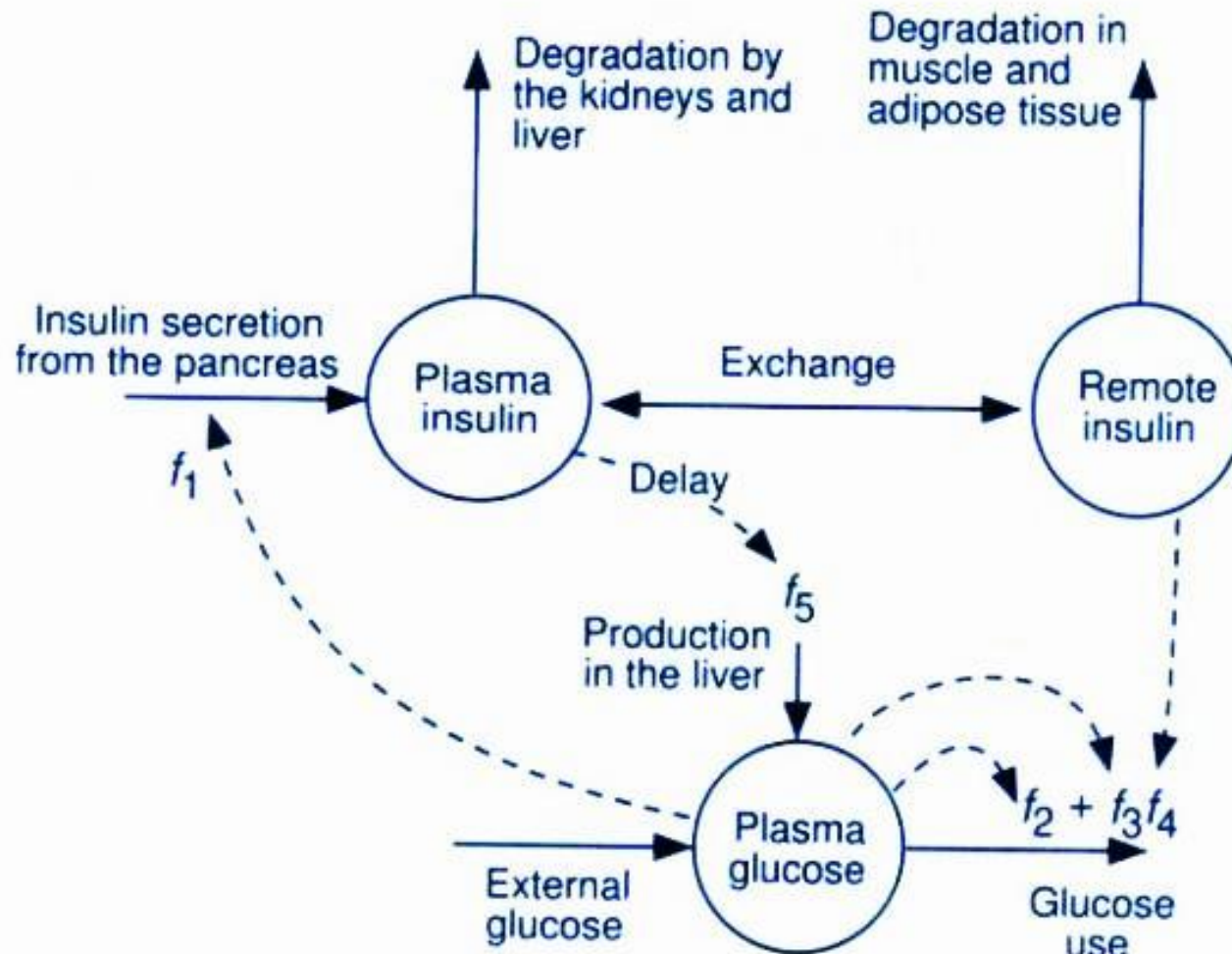


Figure 19.13 Schematic diagram of the model of ultradian insulin oscillations.

$$\frac{dx}{dt} = f_1(z) - \left(\frac{x}{V_1} - \frac{y}{V_2} \right) E - \frac{x}{t_1}.$$

$$\frac{dy}{dt} = \left(\frac{x}{V_1} - \frac{y}{V_2} \right) E - \frac{y}{t_2}.$$

$$\frac{dz}{dt} = f_5(h_3) + I - f_2(z) - f_3(z)f_4(y).$$

$$t_3 \frac{dh_1}{dt} = (x - h_1),$$

$$t_3 \frac{dh_2}{dt} = (h_1 - h_2),$$

$$t_3 \frac{dh_3}{dt} = (h_2 - h_3).$$

Уравнения модели

Инсулин в плазме:

$$\frac{dx}{dt} = f_1(z) - \left(\frac{x}{V_1} - \frac{y}{V_2} \right) E - \frac{x}{t_1}$$

Инсулин в тканях

$$\frac{dy}{dt} = \left(\frac{x}{V_1} - \frac{y}{V_2} \right) E - \frac{y}{t_2}$$

Глюкоза в плазме:

$$\frac{dz}{dt} = f_5(h_3) + I - f_2(z)f_4(y)$$

Уравнения модели: моделирование задержки

$$t_3 \frac{dh_1}{dt} = (x - h_1)$$

$$t_3 \frac{dh_2}{dt} = (h_1 - h_2)$$

$$t_3 \frac{dh_3}{dt} = (h_2 - h_3)$$

$$f_1(z) = \frac{209}{1 + \exp(-z/(300V_3) + 6.6)},$$

$$f_2(z) = 72 \left[1 - \exp\left(\frac{-z}{144V_3}\right) \right],$$

$$f_3(z) = \frac{0.01z}{V_3},$$

$$f_4(y) = \frac{90}{1 + \exp\left(-1.772 \log\left\{y\left[\frac{1}{V_2} + \frac{1}{Et_2}\right]\right\} + 7.76\right)} + 4,$$

$$f_5(h_3) = \frac{180}{1 + \exp(0.29h_3/V_1 - 7.5)},$$

Уравнения модели: нелинейности

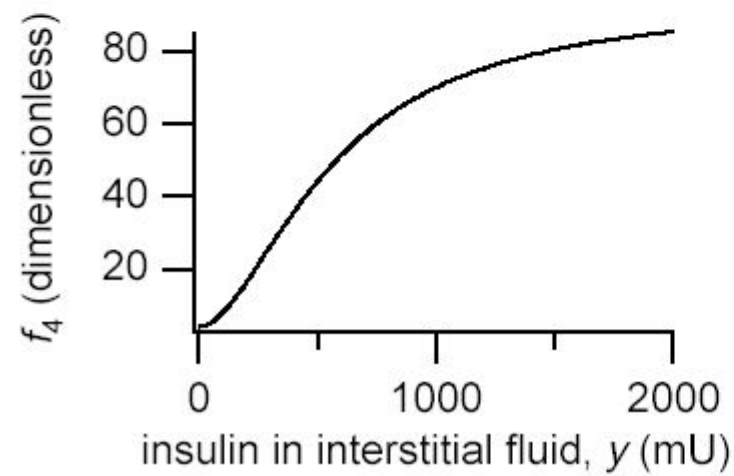
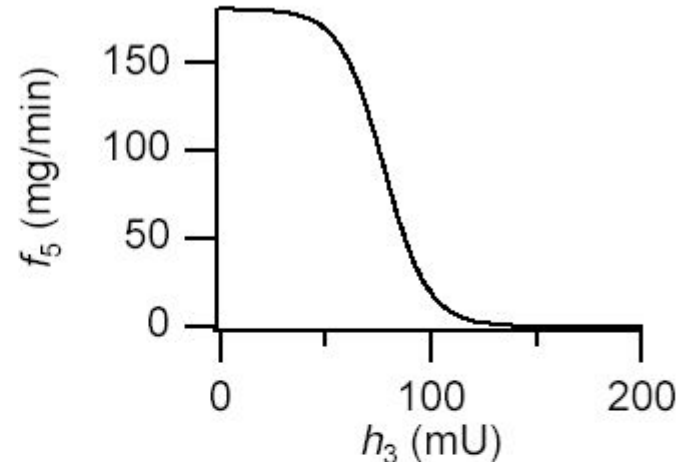
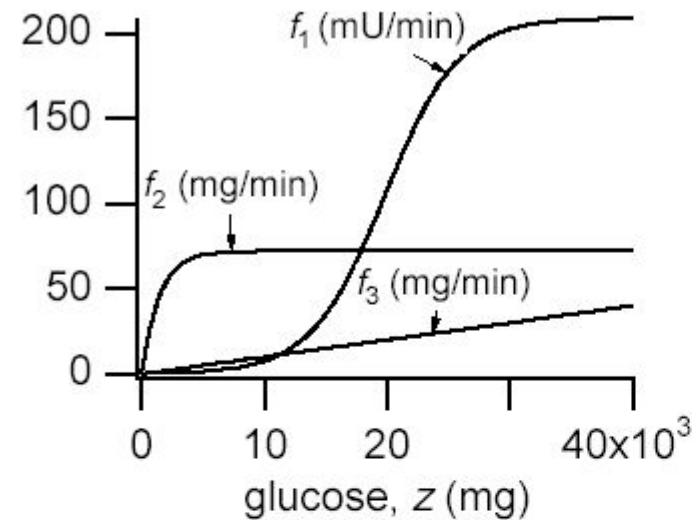
$$f_1(z) = \frac{209}{1 + \exp(-z/300V_3)} + 6.6$$

$$f_2(z) = 72 \left[1 - \exp\left(\frac{-z}{144V_3}\right) \right]$$

$$f_3(z) = \frac{0.01z}{V_3}$$

$$f_4(y) = \frac{90}{1 + \exp(-1.772 \log\{y[\frac{1}{V_2} + \frac{1}{Et_2}]\} + 7.76)} + 4$$

$$f_5(h_3) = \frac{180}{1 + \exp(0.29 h_3/V_1 - 7.5)}$$



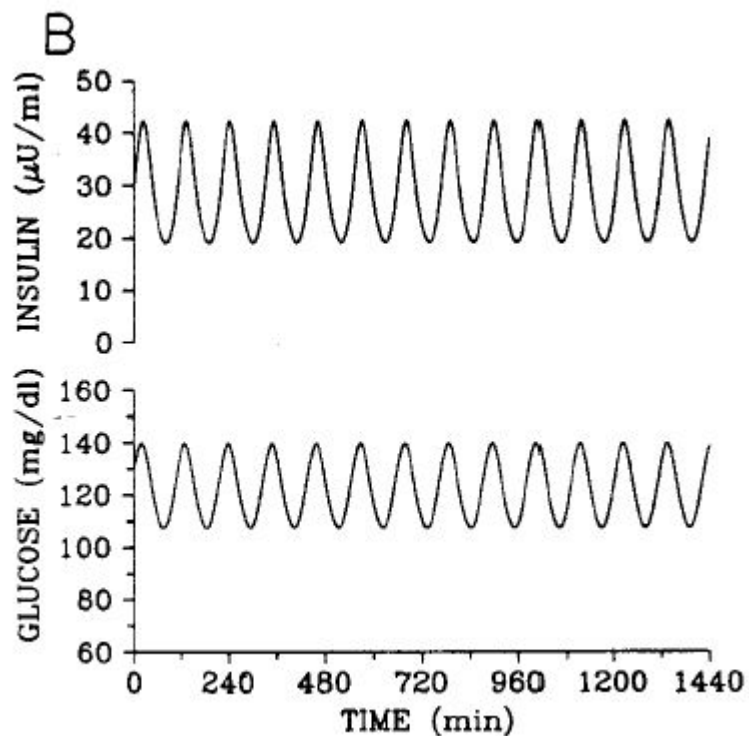
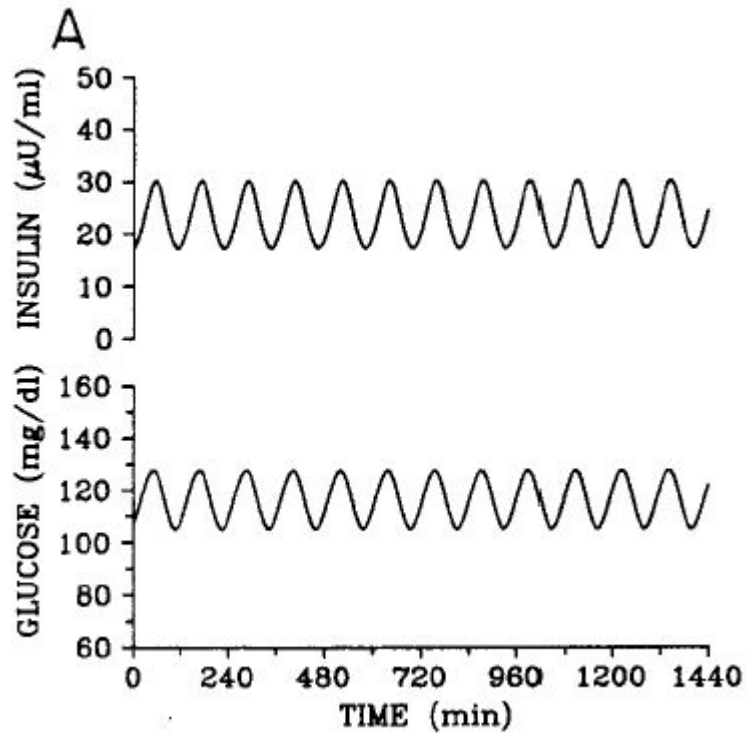
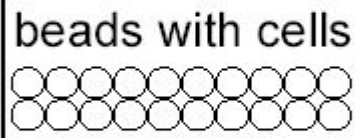


Figure 19.15 Ultradian insulin oscillations in the model. The glucose infusion rates are A: $I = 108 \text{ mg/min}$, and B: $I = 216 \text{ mg/min}$. Note that insulin and glucose are expressed in units of concentration. An amount is easily converted to a concentration by dividing by the volume of the appropriate space. Parameter values are $V_1 = 3 \text{ liters}$, $t_1 = 6 \text{ min}$, $V_2 = 11 \text{ liters}$, $t_2 = 100 \text{ min}$, $V_3 = 10 \text{ liters}$, $t_3 = 12 \text{ min}$, $E = 0.2 \text{ liter/min}$. (Sturis et al., 1991, Fig. 5.)

Perifusate

$$\downarrow f$$

beads with cells



$$\downarrow x$$

Efflux

$$\tau \frac{dJ}{dt} = J_\infty - J,$$

$$J_\infty = \frac{K_{\text{inh}}}{K_{\text{inh}} + I}.$$

$$\frac{dG}{dt} = -R_1 - R_2 - k_0(G - G_0),$$

$$\frac{dI}{dt} = R_s - k_0(I - I_0),$$

$$\frac{dG_i}{dt} = R_1 + R_2 - R_m.$$

$$G = G_0,$$

$$I = I_0 + \frac{R_s}{k_0}.$$

$$G = G_0,$$

$$I = I_0 + \frac{R_s}{k_0},$$

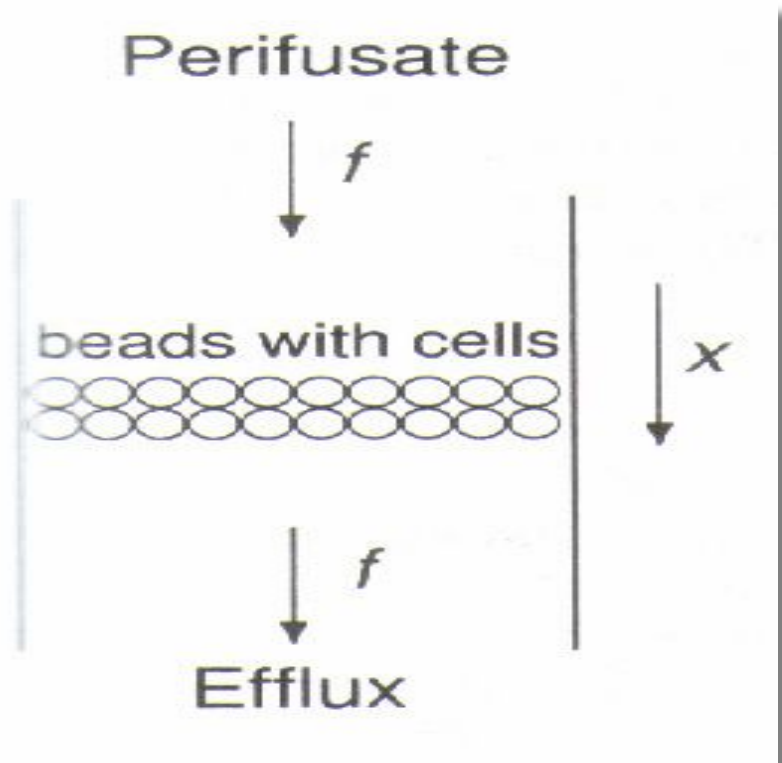
$$\frac{dG_i}{dt} = R_1 + R_2 - R_m,$$

$$\tau \frac{dJ}{dt} = J_\infty - J.$$

$$R_m = \frac{V_m G_i}{K_m + G_i},$$

$$R_1 = \left(\frac{V_1 G_0}{K_1 + G_0} \right) \left(\frac{I}{K_i + I} \right).$$

$$R_1 = \left(\frac{V_1 G_0}{K_1 + G_0} \right) \left(\frac{I}{K_i + I} \right).$$



GLUT-транспортеры

GLUT-
1
GLUT-
2

колебания концентрации инсулина с
промежуточной частотой
(период 10-12 минут)

Уравнения баланса концентраций глюкозы G и инсулина I:

$$\begin{aligned}\frac{dG}{dt} &= -R_1 - R_2 - K_o(G - G_o) \\ \frac{dI}{dt} &= R_S - K_o(I - I_o)\end{aligned}\quad (1)$$

Приближение большой скорости потока:

$$\begin{aligned}G &= G_o \\ I &= I_o + \frac{R_S}{K_o}\end{aligned}\quad (2)$$

Внутренняя динамика глюкозы:

$$\frac{dG_i}{dt} = R_1 + R_2 - R_m \quad (3)$$

Переменная активации J:

$$\tau \frac{dJ}{dt} = J_{\infty} - J, \quad \text{где} \quad J_{\infty} = \frac{R_{inh}}{R_{inh} + I} \quad (4)$$

Итоговая система уравнений:

$$\left\{ \begin{array}{l} \theta = \theta_0 \\ I = I_0 + \frac{R_s}{K_0} \\ \frac{d\theta_i}{dt} = R_1 + R_2 - R_m \\ \tau \frac{dT}{dt} = T_\infty - T \end{array} \right. \quad (5)$$

Вид нелинейностей:

$$R_m = \frac{V_m G_i}{K_m + G_i}, \quad R_1 = \left(\frac{V_1 G_o}{K_1 + G_o} \right) \cdot \left(\frac{I}{K_i + I} \right),$$
$$R_2 = J^m \frac{V_2 G_o}{K_2 + G_o} - L_g G_i \quad (6)$$

$$R_s = \frac{V_s (R_m^4 + L)}{R_m^4 + K_s^4 + L} J^n$$

| | | |
|-------------------------|-----------|-----------------------|
| Fixed by experiment | V_m | 0.24 mM/min |
| | K_m | 9.8 mM |
| | V_s | 0.034 mM/min |
| | K_s | 0.13 mM/min |
| | V_1 | 34.7 mM/min |
| | K_1 | 1.4 mM |
| | V_2 | 32 mM/min |
| | K_2 | 17 mM |
| Experimentally variable | k_0 | 550/min |
| | I_0 | 0 mM |
| | G_0 | 8–19 mM |
| Adjustable | K_{inh} | 1×10^{-7} mM |
| | K_i | 6×10^{-8} mM |
| | τ | 20 min |
| | L_g | 20/min |

$$R_s = \frac{V_s(R_m^4 + L)}{R_m^4 + K_s^4 + L} J^n.$$